

흐름이 存在하는 緩傾斜 海域에서의 波浪變形—理論的 考察

Transformation of Regular Waves on Currents in Water of Slowly Varying Depth—Theoretical Study

蔡璋源*·鄭信澤*·廉器大*·安守漢**

Jang Won Chae*, Shin Taek Joeng*, Ki Dae Yum* and Soo Hahn Ahn**

要 旨 : 波浪이 緩傾斜海域을 進과해 갈 때 흐름 및 水深變化에 의한 波의 屈折, 廻折 등의 非線形현상을 나타낼 수 있는 완경사 波動방정식을 變分原理를 이용하여 유도하였다. 이 식은 雙曲形方程式으로 Kirby(1984)의 式과 같다. 定常狀態의 단순 규칙파에 대한 數值模型을 有限差分法을 이용하여 수립하였으며 이 모형은 開放海域에서 계산의 효율 및 정확도가 타모형에 비해 우수하다. 離岸流와 規則波의 상호작용 현상을 수치모형실험을 통해 상세하게 분석하였다.

Abstract □ Theoretical studies have been made to analyze combined refraction diffraction of the wind waves propagating on a large scale current in water of varying depth. The governing equation for monochromatic waves was derived through splitting a mild slope equation into two equations. A numerical model is developed using finite difference scheme which is computationally very efficient for modelling large area. Numerical examples concerning the interactions between waves and rip currents over a gentle slope are presented, in which the current effects on the wave diffraction in the caustic region are closely examined.

1. 緒 論

우리 經濟의 고도성장과 인구의 증가로 인하여 沿岸域에 대한 효율적이고 종합적인 利用이 절실히 요구되고 있으며 그 활용범위도 점차 확대되고 있다. 波浪은 防波堤 및 護岸 등의 海岸構造物을 설계하는데 필요한 주요 環境要素 중의 하나로 構造物에 가장 큰 動力學的인 영향을 준다. 따라서 이에 대한 많은 研究가 進行되었다. 그러나 波浪과 흐름의 相互作用에 의한 構造物의 안정성, 선박항행, 浮遊砂移動 등에 미치는 영향은 복잡할 뿐만 아니라 잘 규명되어 있지 않으며 그 연구도 최근에 이르러 활발해지고 있다.

深海에서 발달된 波가 水深과 흐름이 변하는 沿岸域을 傳播해 갈 때 흐름과 相互作用, 屈折, 廻折, 碎波, 에너지減衰, 비선형효과 등에 의해 波高와 波向이 크게 변형된다. 이러한 현상을 종합적으로 다

룰 수 있는 모형은 극소수일 뿐만 아니라 계산영역이 좁고 또한 계산시간이 많이 걸린다(예 : Abbott 등, 1978).

本 論文에서는 앞에서 언급한 현상들을 복합적으로 나타낼 수 있는 일반적인 雙曲形 波動方程式(hyperbolic wave equation)을 變分原理(variational principle)를 이용하여 유도하였다. 또한 이 식을 이용하여 拋物形 모형(parabolic model)보다 넓은 해석의 非線形현상을 계산하는 데 매우 효과적인 數值모형을 수립하였다.

2. 基本方程式

2.1 雙曲形 方程式

비압축성 비회전류의 運動은 다음과 같이 Laplace式으로 나타낼 수 있다. 방정식의 좌표계 및 변수의 정의는 Fig. 1에 제시되었다.

*韓國科學技術研究院 海洋研究所(Korea Ocean Research and Development Institute, Ansan P.O. Box 29, 425-600, Korea)

**서울대학교 土木工學科(Department of Civil Eng., Seoul National University, Seoul 151-742, Korea)

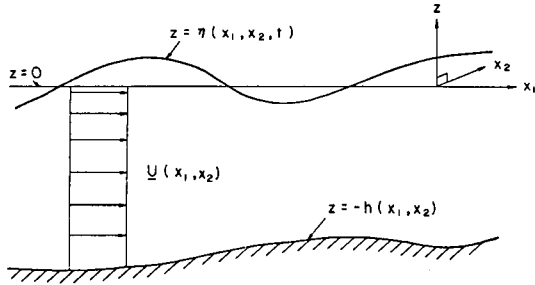


Fig. 1. Definition sketch of fluid domain.

$$\nabla^2 \phi = 0 \quad (1)$$

$$\text{단, } u_1 = \frac{\partial \phi}{\partial x_1}, \quad u_2 = \frac{\partial \phi}{\partial x_2}, \quad w = \frac{\partial \phi}{\partial z} \text{ 이다}$$

自由表面과 海底面을 각각 다음과 같이 정의하면,

$$z = \eta(x_1, x_2, t), \quad z = -h(x_1, x_2) \quad (2)$$

自由表面式 $F(x_1, x_2, z, t)$ 는 式 (3)으로 표현할 수 있다.

$$F(x_1, x_2, z, t) = \eta(x_1, x_2, t) - z = 0 \quad (3)$$

運動學的 自由表面 境界條件(KFSBC) $\frac{DF}{Dt} = 0$ 에 式 (3)을 대입하면 式 (4)와 같이 된다.

$$\frac{\partial \eta}{\partial t} + u_1 \frac{\partial \eta}{\partial x_1} + u_2 \frac{\partial \eta}{\partial x_2} - w = 0 \text{ on } z = \eta \quad (4)$$

또, 이 式을 속도포텐셜을 이용하여 표시하면

$$\frac{\partial \eta}{\partial t} + \frac{\partial \phi}{\partial x_1} \frac{\partial \eta}{\partial x_1} + \frac{\partial \phi}{\partial x_2} \frac{\partial \eta}{\partial x_2} - \frac{\partial \phi}{\partial z} = 0 \text{ on } z = \eta \quad (5)$$

動力學的 自由表面 境界條件(DFSBC)은 Bernoulli 定理로부터

$$\frac{\partial \phi}{\partial t} + \frac{1}{2} q^2 + g\eta = C(t) \text{ on } z = \eta \quad (6)$$

로 表示된다. 여기서, $q^2 = u_1^2 + u_2^2 + w^2$

위 式들은 비선형항을 포함하고 있으며 이 式을 간략화하기 위해 波高가 파장에 비해 작고, ϵ (파형 경사)이 작다고 가정하면, η 와 ϕ 를 다음과 같이 표현할 수 있다.

$$\begin{aligned} \eta &= \epsilon \eta_1 + \epsilon^2 \eta_2 + \dots \\ \phi &= U_1 x_1 + U_2 x_2 + \epsilon \phi_1 + \epsilon^2 \phi_2 + \dots \end{aligned} \quad (7)$$

式 (7)에서 U_1, U_2 는 波浪運動에 작용하는 유속 (ambient current)의 水平方向 성분으로 항상 주어지는 대규모 흐름 (large scale current, $O(\epsilon^0)$)이라 가정한다.

式 (7)을 式 (1), (5)에 대입하면 각각 다음과 같다.

$$\epsilon \nabla^2 \phi_1 + \epsilon^2 \nabla^2 \phi_2 + \dots = 0 \quad (8)$$

$$\begin{aligned} \epsilon \left(\frac{\partial \eta_1}{\partial t} + U_1 \frac{\partial \eta_1}{\partial x_1} + U_2 \frac{\partial \eta_2}{\partial x_2} - \frac{\partial \phi_1}{\partial z} \right) \\ + \epsilon^2 \left(\frac{\partial \eta_2}{\partial t} + U_1 \frac{\partial \eta_2}{\partial x_1} + \dots \right) + \dots = 0 \end{aligned} \quad (9)$$

$$\begin{aligned} \text{또, } q^2 &= U_1^2 + U_2^2 + \epsilon \left(2U_1 \frac{\partial \phi_1}{\partial x_1} + 2U_2 \frac{\partial \phi_1}{\partial x_2} \right) \\ &+ \epsilon^2 \left\{ \left(\frac{\partial \phi_1}{\partial z} \right)^2 + \dots \right\} + \dots \end{aligned}$$

이므로 式 (6)은 다음과 같이 변형된다.

$$\begin{aligned} \frac{1}{2} (U_1^2 + U_2^2) + \epsilon \left(\frac{\partial \phi_1}{\partial t} + U_1 \frac{\partial \phi_1}{\partial x_1} + U_2 \frac{\partial \phi_1}{\partial x_2} + g\eta_1 \right) \\ + \epsilon^2 \left[\frac{\partial \phi_2}{\partial t} + \frac{1}{2} \left\{ \left(\frac{\partial \phi_1}{\partial x_1} \right)^2 + \dots \right\} + \dots \right] = C(t) \end{aligned} \quad (10)$$

式 (8)-(10)에서 ϵ^2 이상 항은 무시하고 $\epsilon \eta_1$ 을 η , $\epsilon \phi_1$ 을 ϕ 로 다시 정의하면 이 式을 다음과 같이 표현할 수 있다.

$$\nabla^2 \phi = 0 \quad (11)$$

$$\frac{\partial \eta}{\partial t} + U_1 \frac{\partial \eta}{\partial x_1} + U_2 \frac{\partial \eta}{\partial x_2} = \frac{\partial \phi}{\partial z} \text{ on } z = 0 \quad (12)$$

$$\frac{\partial \phi}{\partial t} + U_1 \frac{\partial \phi}{\partial x_1} + U_2 \frac{\partial \phi}{\partial x_2} + g\eta = 0 \text{ on } z = 0 \quad (13)$$

式 (13)은 式 (10)에서 $2(U_1^2 + U_2^2)$ 과 $C(t)$ 를 제거한다.

따라서 Booij(1981)의 式은 式 (13)에 비해 ϕ ($\nabla \cdot \mathbf{U}$)항을 더 포함하고 있는데, 이는 DFSBC를 적용하여 式을 전개하는 과정에서 오류를 범하여 기인된 것이므로 이 式은 부정확하다. 이는 Kirby(1984)에 의해 지적된 바 있다.

式 (13)과 (12)를 합하면

$$\begin{aligned} \left(\frac{\partial}{\partial t} + U_1 \frac{\partial}{\partial x_1} + U_2 \frac{\partial}{\partial x_2} \right) \left(\frac{\partial \phi}{\partial t} + U_1 \frac{\partial \phi}{\partial x_1} + U_2 \frac{\partial \phi}{\partial x_2} \right) \\ + g \frac{\partial \phi}{\partial z} = 0 \text{ on } z = 0 \end{aligned} \quad (14)$$

로 표시된다.

波浪運動에 대해 變分原理 (variational principle)를 적용하면 Lagrangian, L은 速度포텐셜 ϕ 를 이용하여 다음과 같이 된다(Luke, 1967; Whitham, 1974).

$$\delta \int_t \int_x L dx dt = 0, \quad L = \int_0^h \left\{ \phi_t + \frac{1}{2} (\nabla \phi)^2 + gz \right\}$$

$dz, h;$ 수심

같은 방법으로 波浪-흐름 運動에 대해 變分原理를 적용하면 式 (11)은 다음과 같이 나타낼 수 있다.

$$\iiint_V \delta \phi \nabla^2 \phi dV = 0$$

Green 定理를 이용하면 式은

$$\iint_S \delta \phi n \cdot \nabla \phi ds - \iiint_V (\nabla \phi) \cdot (\nabla \delta \phi) dV = 0 \quad (15)$$

로 표현되며 式 (14)를 式 (15)에 대입하면 式 (16)을 얻는다.

$$\delta \iint L dx_1 dx_2 = 0 \quad (16)$$

여기서, $L = \frac{1}{2g} \left(\frac{\partial \phi}{\partial t} + \underline{U} \cdot \nabla \phi \right)^2 \Big|_{z=0} - \frac{1}{2} \int_{-h}^0 (\nabla \phi)^2 dz$

速度 포텐셜 ϕ 를

$$\phi(x_1, x_2, z, t) = f(z) \Phi(x_1, x_2, t) \quad (17)$$

여기서, $f(z) = \frac{\cosh k(z+h)}{\cosh kh}$, $k;$ 파수

라고 하면 式 (16)은 다음과 같이 나타낼 수 있다.

$$L = \frac{1}{2g} \left(\frac{\partial \phi}{\partial t} + \underline{U} \cdot \nabla \phi \right)^2 - \frac{1}{2} \phi^2 \int_{-h}^0 \left(\frac{\partial f}{\partial z} \right)^2 dz - \frac{1}{2} (\nabla \phi)^2 \int_{-h}^0 f^2 dz$$

式에

$$g \int_{-h}^0 f^2 dz = CC_g, \quad g \int_{-h}^0 \left(\frac{\partial f}{\partial z} \right)^2 dz = \sigma^2 - k^2 CC_g$$

의 관계式들을 대입하면 式 (18)을 얻는다. 여기서

σ 는 상대각주파수, C 는 파속, C_g 는 군속도이다.

$$L = \frac{1}{2} \left\{ \left(\frac{\partial \Phi}{\partial t} + \underline{U} \cdot \nabla \Phi \right)^2 - CC_g (\nabla \Phi)^2 + (\sigma^2 - k^2 CC_g) \Phi^2 \right\} \quad (18)$$

한편, Lagrangian에 대한 Euler 式은

$$\frac{\partial L}{\partial \Phi} - \frac{\partial}{\partial t} \frac{\partial L}{\partial \Phi_t} - \nabla \cdot \frac{\partial L}{\partial \nabla \Phi} = 0 \quad \text{이므로}$$

式 (18)을 대입하여 다음의 關係式을 얻는다.

$$\left(\frac{\partial}{\partial t} + \underline{U} \cdot \nabla \right) \left(\frac{\partial \Phi}{\partial t} + \underline{U} \cdot \nabla \Phi \right) - \nabla \cdot (CC_g \nabla \Phi) + (\sigma^2 - k^2 CC_g) \Phi = 0 \quad (19)$$

또는,

$$\frac{D^2 \Phi}{Dt^2} + (\nabla \cdot \underline{U}) \frac{D\Phi}{Dt} - \nabla \cdot (CC_g \nabla \Phi) + (\sigma^2 - k^2 CC_g) \Phi = 0 \quad (20)$$

단, $\frac{D}{Dt} = \left(\frac{\partial}{\partial t} + \underline{U} \cdot \nabla \right)$

式 (19)는 雙曲形(hyperbolic type) 偏微分方程式으로 波浪-흐름 相互作用運動을 나타낸다. 이 식은 Booij(1981), Liu(1983)가 제안한 식과 약간 다르며, 淺海域에서도 적용이 가능하다(Booij, 1981). 이 식을 이용한 수치모형을 開放海域(open sea)에 적용하는 경우 모델영역이 수십 km²에 해당하므로 계산시간이 많이 걸리고 대용량의 컴퓨터가 필요하다. 이러한 문제점을 해결하기 위해 본 연구에서는 式 (20)으로부터 橢圓形 파동방정식을 유도한 다음 定常상태의 파랑변형을 매우 효과적으로 계산할 수 있는 數値모형을 개발하였다. 포물형 모형의 격자간격은 $L_o/4$ 보다 훨씬 작아야 타당한 결과를 얻게 되는데 파가 천해로 진행할수록 파장 L_o 가 짧아져 격자간격도 작아져서 결국 많은 계산격자점이 요구된다. 그러나 본 모형의 격자간격은 파장의 크기에 민감하지 않으므로 계산격자점이 적어 타 모형에 비해 계산시간이 적게 걸린다.

2.2 橢圓形 方程式

波浪이 定常狀態인 경우를 고려하면

$$\Phi = \text{Re} \{ \tilde{\phi} \exp(-i\omega t) \} \quad (21)$$

여기서, $\tilde{\phi} = \tilde{\phi}(x_1, x_2)$, ω ; 절대 각주파수
이므로 式 (21)을 式 (20)에 대입하면 다음과 같은
결과를 얻는다.

$$\begin{aligned} & -i\omega \{ 2\underline{U} \cdot \nabla \tilde{\phi} + \tilde{\phi} (\nabla \cdot \underline{U}) \} + (\underline{U} \cdot \nabla) (\underline{U} \cdot \nabla \tilde{\phi}) \\ & + (\nabla \cdot \underline{U}) (\underline{U} \cdot \nabla \tilde{\phi}) - \nabla \cdot (\text{CC}_g \nabla \tilde{\phi}) + (\sigma^2 - \omega^2 \\ & - k^2 \text{CC}_g) = 0 \end{aligned} \quad (22)$$

윗 式은 橢圓形 偏微分方程式으로 $\underline{U} = (0, 0)$ 인
경우 Berkhoff(1972)의 緩傾斜方程式이 된다. 또
式 (22)에 $\tilde{\phi} = -ig \frac{a}{\sigma} e^{i\psi}$ 를 대입하면 실수부와 허수
부로부터 다음 식들을 얻는다. 여기서 g 는 重力加
速度, $a(x_1, x_2)$ 는 振幅, $S(x_1, x_2)$ 는 位相
(phase)이다.

Transport eq.

$$\nabla \cdot \{ \underline{U} \frac{a^2}{\sigma^2} (\omega - \underline{U} \cdot \nabla S) + \text{CC}_g \frac{a^2}{\sigma^2} \nabla S \} = 0 \quad (23)$$

Eikonal eq.

$$\begin{aligned} & \text{CC}_g \frac{a}{\sigma} (\nabla S)^2 - (\underline{U} \cdot \nabla S - \omega)^2 \frac{a}{\sigma} + (\sigma^2 - k^2 \text{CC}_g) \\ & \frac{a}{\sigma} - \nabla \cdot (\text{CC}_g \nabla \frac{a}{\sigma}) + (\nabla \cdot \underline{U}) (\underline{U} \cdot \nabla \frac{a}{\sigma}) + \underline{U} \cdot \nabla \\ & (\underline{U} \cdot \nabla \frac{a}{\sigma}) = 0 \end{aligned} \quad (24)$$

위의 두 式은 本 研究의 주요 結果 중의 하나이
다. 이는 일반적인 波動方程式이며 다음과 같이 잘
알려진 既存式들로 쉽게 변환될 수 있다. 즉, 式
(23), (24)에 $\underline{U} = (0, 0)$ 을 대입하면, Ebersole
(1985)의 式과 같이 된다. 또, $\Phi = -ig \frac{A}{\sigma} e^{i\psi}$ 를 式
(20)에 대입하면 式 (23), (24)와 유사한 式 (25),
(26)를 얻는다. 여기서, $A(x_1, x_2, t)$ 는 진폭, ψ
(x_1, x_2, t)는 位相이다.

$$\begin{aligned} & -\nabla \cdot \left(\frac{A^2}{\sigma^2} \text{CC}_g \nabla \psi \right) + \nabla \cdot \left\{ \underline{U} \frac{A^2}{\sigma^2} \left(\frac{\partial \psi}{\partial t} + \underline{U} \cdot \nabla \psi \right) \right. \\ & \left. \nabla \cdot \left(\underline{U} \frac{A}{\sigma} \right) + \frac{A}{\sigma} \frac{\partial}{\partial t} \left\{ \frac{A}{\sigma} \left(\frac{\partial \psi}{\partial t} + \underline{U} \cdot \nabla \psi \right) \right\} + \frac{A}{\sigma} \right. \\ & \left. \left(\frac{\partial \psi}{\partial t} + \underline{U} \cdot \nabla \psi \right) \frac{\partial}{\partial t} \left(\frac{A}{\sigma} \right) \right\} = 0 \end{aligned} \quad (25)$$

$$\text{CC}_g \frac{A}{\sigma} (\nabla \psi)^2 - \left(\frac{\partial \psi}{\partial t} + \underline{U} \cdot \nabla \psi \right)^2 \frac{A}{\sigma} + (\sigma^2 - k^2 \text{CC}_g)$$

$$\begin{aligned} & \frac{A}{\sigma} - \nabla \cdot (\text{CC}_g \nabla \frac{A}{\sigma}) + \left(\frac{\partial}{\partial t} + \underline{U} \cdot \nabla \right) \left\{ \frac{\partial}{\partial t} \left(\frac{A}{\sigma} \right) + \nabla \cdot \right. \\ & \left. \left(\underline{U} \frac{A}{\sigma} \right) \right\} - \frac{A}{\sigma} \left\{ \left(\frac{\partial}{\partial t} + \underline{U} \cdot \nabla \right) (\nabla \cdot \underline{U}) \right\} = 0 \end{aligned} \quad (26)$$

2.3 Wave action 保存式

屈折만을 고려하는 경우(즉, 파향선(wave ray)
을 따라 wave action이 보존되는 경우), $\underline{k} = \nabla S$,
 $\sigma = \omega - \underline{U} \cdot \nabla S$ 이므로 式 (23)은 다음과 같다.

$$\nabla \cdot \left\{ \frac{a^2}{\sigma} (\underline{U} + \text{C}_g) \right\} = 0 \quad (27)$$

윗 式은 定常狀態에서 wave action에 保存을 나
타낸다.

비정상상태의 경우

$$\underline{k} = \nabla \psi, \quad \omega = -\frac{\partial \psi}{\partial t}, \quad \frac{\partial \psi}{\partial t} + \underline{U} \cdot \nabla \psi = -\sigma \quad \text{이므}$$

로 式 (25)는

$$\frac{\partial}{\partial t} \left(\frac{A^2}{\sigma} \right) + \nabla \cdot \left\{ \frac{A^2}{\sigma} (\text{C}_g + \underline{U}) \right\} = 0 \quad (28)$$

로 되어 비정상상태는 wave action 式이다.

이상과 같이 유도된 式 (23), (24)와 波數의 비회
전성 關係式은 定常狀態의 波浪傳播現象을 나타내는
일반적인 파동방정식으로 波의 屈折·廻折 및 흐름과
의 상호작용을 포함한다. 이 식은 이미 발표된 蔡·
鄭·廉(1988)의 내용을 수정 보완한 것이다.

3. 數值모델 實驗

海岸 및 하구에서는 波가 전파할 때 水深의 변화
와 海流, 潮流 또는 海濱流 등에 의해 복합적으로
영향을 받으면서 변형된다. 이 현상은 앞에서 유도
된 식을 이용하여 비교적 넓은 海域에 효과적으로
분석 및 예측될 수 있다. 本 研究에서는 式 (23)과
(24)를 x 방향으로 전방차분법, y 방향으로 중앙차
분법을 이용하여 有限差分法한 다음 각 列에 대해
반복계산을 하고 前進技法(marching method)을
이용하여 coupled solution을 계산하였다. 수치계
산 방법에 대한 상세한 내용은 蔡·鄭·廉(1988)에
게재되어 있으므로 여기서는 생략하고 이상적인 경
우의 수치모형 실험에 대해 간단히 논의한다.

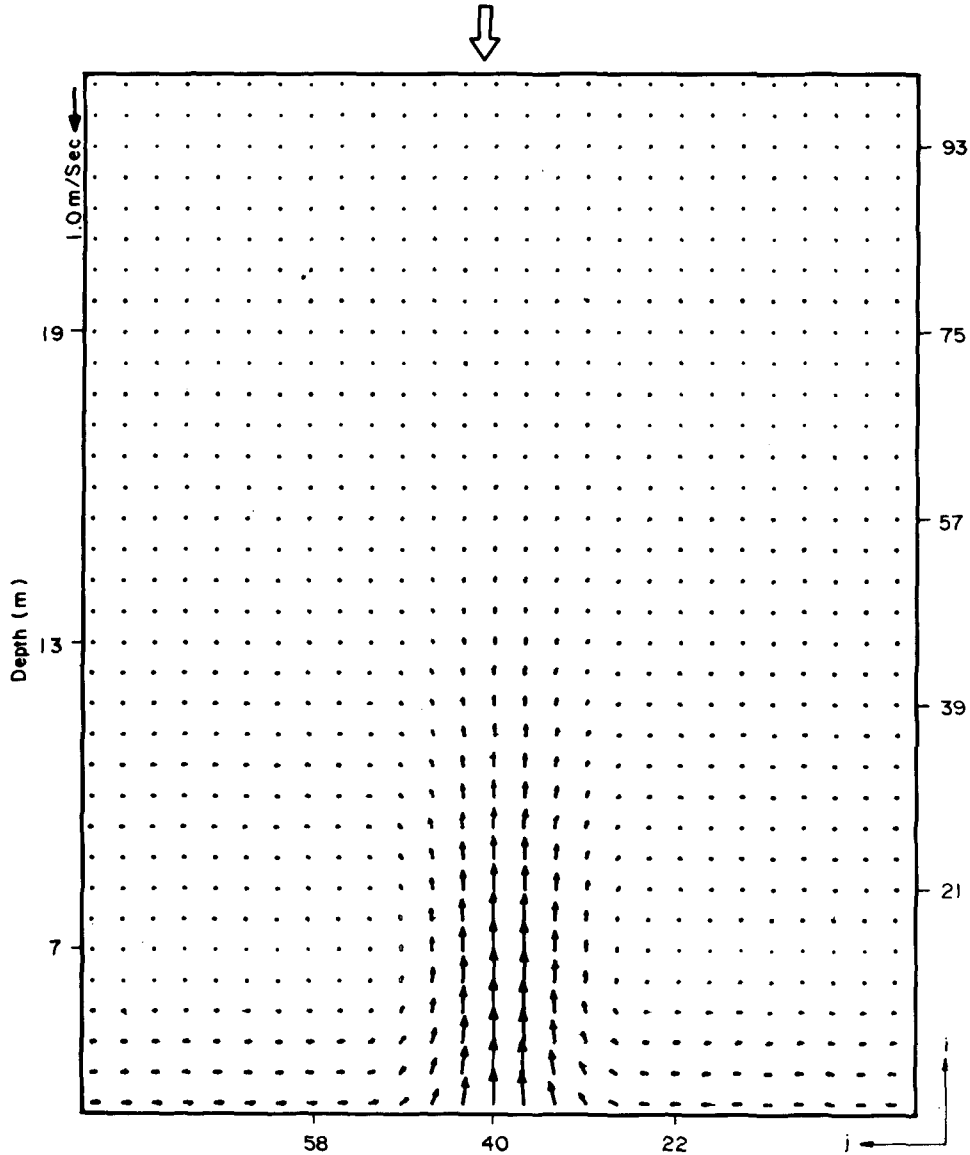


Fig. 2. Pattern of rip current.

數值模型 實驗은 규칙파가 일정하게 경사진(기울기: 0.05) 해빈을 직각으로 입사하여 진행할 때 離岸流(Fig.2 참조)에 의해 크게 변형되는 현상을 분석하고 모델의 신빙성을 검토하기 위해 실시되었다. 入射波는 波高 2m, 週期 8초, 계산격자 간격은 $\Delta x=10m$, $\Delta y=5m$ 로 하여 계산한 결과 중 波高比의 分布를 Fig.3에 제시하였다. 拋物形 方程式을 이용한 수치계산 결과(Kirby, 1984)를 Fig.4에 도시하였는데 두 결과가 거의 일치한다. 따라서, 계산

방법은 적합하다고 사료된다.

파의 흐름 및 수심변화에 의한 屈折·廻折現象은 다음과 같이 해석할 수 있다. 流速이 큰 離岸流의 중앙에는 파가 모여서 에너지의 밀도, 즉 波高가 커지고 양 옆은 상대적으로 파고가 작아지나 波高의 평면 분포구배가 커져 A_{yy}/A 가 陰이 되어 $|\nabla S|$ 가 작아진다. 따라서 파장이 커지고(波速이 커져) 이곳의 파가 빨리 진행하여 波峯線이 휘어지는 효과가 나타난다. 즉 波向이 변해서 에너지는 波高가 작

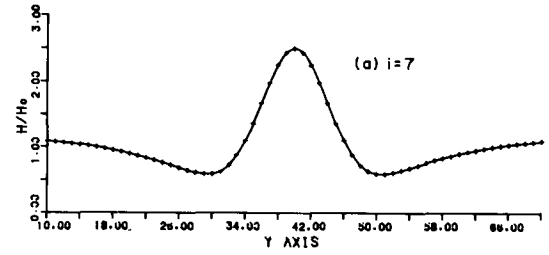
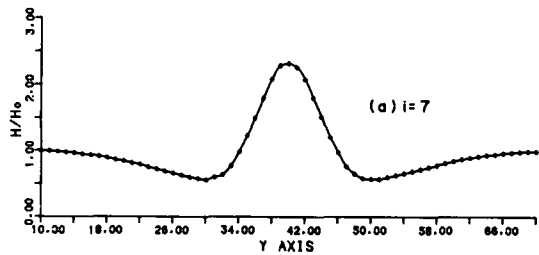
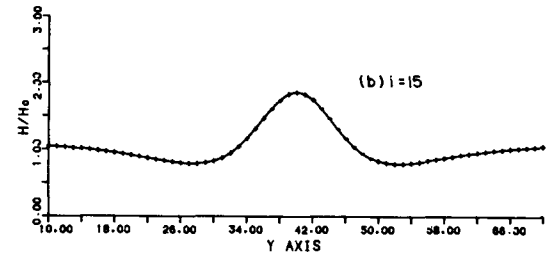
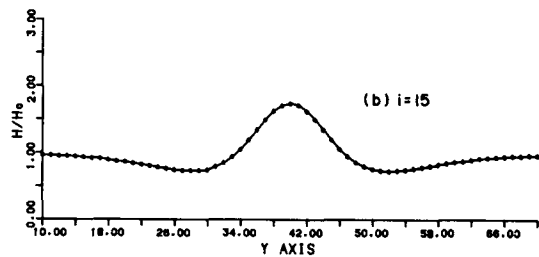
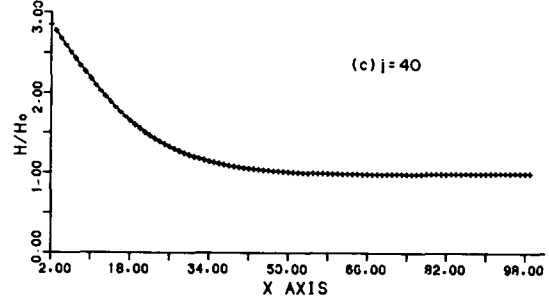
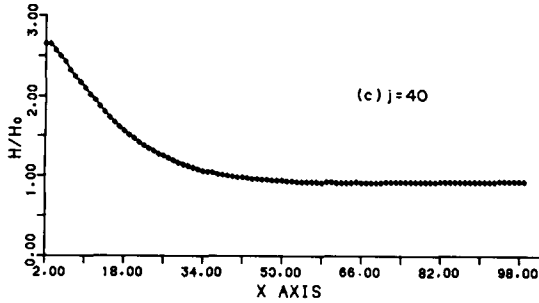


Fig. 3. Amplitude relative to incident wave for waves interacting with rip current (Elliptic model).

Fig. 4. Amplitude relative to incident wave for waves interacting with rip current (Parabolic model).

은 쪽으로 진행하게 되는데 이를 廻折이라 한다. 파 봉선의 파고가 작은 곳에서는 위와 반대의 현상이 나타나 波가 느리게 진행하므로 파고가 큰 곳에서 파고가 작은 곳으로 진행토록 상승작용을 한다. 이상과 같이 波는 Shoal 뿐만 아니라 剪斷 흐름 (shear current)에 의해서도 굴절 및 회절에 의해 크게 변형됨을 알 수 있다. 그러나 定量的인 分析은 水理模型 實驗 結果 또는 현장관측자료와 비교를 통해 이루어질 수 있을 것이다.

4. 結 論

深海中에서 발달된 風波가 수심과 흐름이 변하는 연안역을 전파해 갈 때 廻折 및 屈折에 의한 파랑변형을 나타낼 수 있는 이론식을 變分原理를 이용하여

전개하였다. 이는 雙曲形 方程式으로 Kirby(1984)가 유도한 식과 동일한 형태로 일반적인 파동방정식이며, 이로부터 단순규칙파에 대한 橢圓形 方程式을 유도하였다. 既存 有限要素 및 拋物形 數値모델에 비해 계산상 우월한 수치모형을 수립하고, 이를 이용하여 離岸流에 의한 파의 굴절 회절현상을 분석하였다. 앞으로 이 모형은 파의 비선형효과(쇄파 및 해저마찰에 의한 減衰 등)를 포함하도록 개선되어야 할 것이다.

참고문헌

- 과학기술처, 1987. 해안구조물 적정설계조건 결정기법의 체계화연구.
 채정원, 정신택, 이달수, 1988. 비선형 규칙파의 굴절 및 회절-수치모델, 제 30회 수공학 연구발표 논문집, 18-28.

- 채장원, 정신택, 염기대, 1988. 흐름과 수심변화에 의한 파의 굴절·회절에 관한 연구, 大韓土木學會 학술발표 논문집, 486-490.
- Abbott, M.B., Petersen, H.M. and Skovgaard, O., 1978. Numerical modelling of short waves in shallow water, *J. Hyd. Res.*, **16**: 173-204.
- Arthur, R.S., 1950. Refraction of shallow water waves: the combined effect of currents and underwater topography, *Trans. Amer. Geophys. Union*, **31**(4): 549-552.
- Booij, N., 1981. Gravity waves on water with non-uniform depth and current, Ph.D. dissertation, Delft Univ. of Technology, the Netherlands.
- Chae, J.W. and Song, W.O., 1986. Current-depth refraction of directional wave spectra, 5th Congr. APD of IAHR, Seoul, Korea, 3: 15-34.
- Chu, V.H. and Mei, C.C., 1970. On slowly varying Stokes waves, *J. Fluid Mech.*, **41**(4): 873-887.
- Ebersole, B.A., 1985. Refraction-diffraction model for linear water waves, *J. of Waterway, Port, Coastal and Ocean Eng.*, *ASCE*, **111**(6): 939-953.
- Jonsson, I.G., Christoffersen, J.B. and Skovgaard, O., 1983. A general computational method for current depth refraction of water waves, *Proc. Int. Conf. on Coastal and Port Eng. in Developing Countries*. Colombo, Sri Lanka.
- Kirby, J.T., 1983. Propagation of weakly-nonlinear surface water waves in regions with varying depth and current, Res. Rep. No. CE-83-37, Dept. of Civil Eng., Univ. of Delaware.
- Kirby, J.T., 1984. A note on linear surface wave-current interaction over slowly varying topography, *J. of Geophys. Res.*, **89**(C1): 745-747.
- Liu, P.L-F., 1983. Wave-current interactions on a slowly varying topography, *J. of Geophys. Res.*, **88**(C7): 4421-4426.
- Luke, J.C., 1967. A variational principle for a fluid with a free surface, *J. Fluid Mech.*, **27**: 395-397.
- Whitham, G.B., 1967. Non-linear dispersion of water waves, *J. Fluid Mech.*, **27**(2): 399-412.
- Whitham, G.B., 1974. Linear and nonlinear waves, Wiley-Interscience, New York, 1974.